



برآورد تبخير - تعرق مرجع با استفاده از داده های محدود هواشناسی در شرایط اقلیمی مختلف

^۱ اسعد سلطانی^۲ - سید مجید میرلطیفی^۳ - حسین دهقانی سانیج^۴

تاریخ دریافت: ۱۷/۱۲/۸۹

تاریخ پذیرش: ۹۰/۷/۱۰

حکیمہ

تبخیر تعرق گیاه مرجع یک پارامتر مهم هواشناسی کشاورزی در مطالعات هیدرولوژی و هواشناسی و همچنین در برنامه‌ریزی آبیاری است. معادله فائق پنمن- مانیتیث (FAO-56 PM) به عنوان یک روش استاندارد برای تعیین تبخیر- تعرق گیاه مرجع، از طرف سازمان خوار و بار جهانی (FAO) توصیه شده است. این روش پارامترهای زیادی را در رابطه با تبخیر- تعرق بررسی می کند: تشعشع خالص (Rn)، درجه حرارت هوا (T)، کمبود فشار بخار (VPD) و سرعت باد (U). در این مقاله دقت معادله فائق پنمن مانیتیث برای برآورد تبخیر- تعرق مرجع در اقلیم‌های مختلف، در شرایطی که داده‌های هواشناسی محدود باشند، بررسی شده است. برای این مطالعه داده‌های کامل هواشناسی از نه ایستگاه هواشناسی در اقلیم‌های مختلف در ایران، انتخاب شدند. تفاوت برآورد تبخیر- تعرق مرجع به روش فائق پنمن در حالت داده کامل و کاهش داده عموماً با کاهش پارامترهای برآورد شده، کاهش انتخاب شدند. مدل‌های کاهش داده فائق پنمن مانیتیث، اغلب نتایج پهتری نسبت به مدل‌های ترک، هارگریوز سامانی و شبکه عصبی مصنوعی ارائه دادند و این می‌یابد. مدل‌های کاهش داده فائق پنمن مانیتیث را تأکید می کند؛ حتی در حالتی که داده‌های کامل هواشناسی در دسترس نباشند. حداقل داده لازم برای حقیقت استفاده از معادله فائق پنمن مانیتیث را تأکید می کند. حداقل داده لازم برای برآورد دقیق تبخیر- تعرق مرجع به روش فائق پنمن- مانیتیث در اقلیم‌های مرطوب و گرم و نیمه خشک، داده‌های حداقل دما و حداقل دما و سرعت باد محله‌ای می‌باشد و در اقلیم بسیار خشک حداقل داده لازم، داده‌های حداقل دما و حداقل دما و روزانه و سرعت باد روزانه می‌باشد.

واژه های کلیدی: دمای هوا، برآورده، تبخیر- تعرق مرجع، داده هواشناسی، سرعت باد

هستند، برآورد نکیم، می‌توان با برآورد تعدادی از پارامترهای ورودی، داده‌های لازم برای محاسبه تبخیر- تعرق به روش پنمن- مانیث را کاهش داد. برای برآورد تبخیر- تعرق مرجع با معادله فائو پنمن- مانیث، برای حالتی که مجموعه داده‌ها شامل حداقل و حداقل دمای هوا باشند، می‌توان برآورد قابل قبولی برای دوره‌های ده روزه و ماهانه را ارائه داد. اعتبار روش‌های برآورد داده‌های غیر موجود باید در سطح محلی ارزیابی شوند. این ارزیابی می‌تواند در ایستگاه‌های هواشناسی در ارای اطلاعات کامل انجام گیرد (۷).

مدل‌های محاسباتی تبخیر- تعرق: در شرایط اقلیمی اروپای غربی، ترک معادله زیر را برای تخمین ET_0 ارائه کرد (۱۷).

$$ET_0 = 0.13 \frac{T}{T+15} (R_s + 2.09) \dots \dots \dots \text{RH} \geq 50 \quad (1)$$

$$ET_0 = 0.13 \frac{T}{T+15} (R_s + 2.09) \left(1 + \frac{50 + RH}{70} \right) \dots RH \leq 50 \quad (2)$$

که در آن T میانگین روزانه دمای هوا در ارتفاع دو متری ($^{\circ}\text{C}$), R_s تابش خورشیدی رسیده به سطح زمین ($\text{MJ/m}^2\cdot\text{day}$) و RH رطوبت نسبی، (درصد) می‌باشد.

مدل ارائه شده توسط پلانی کرپدل برای تخمین ET_0 در مناطق

مقدمة

تبخیر- تعرق یکی از مهمترین پارامترهایی است که دانستن آن جهت برآورد آب مورد نیاز گیاه و طراحی سیستم‌های آبیاری و برنامه-ریزی آبیاری ضروری است. تعیین دقیق مقدار آبی که برای تبخیر-تعرق مصرف می‌شود، از عوامل اساسی در برنامه‌ریزی برای رسیدن به محصول بیشتر است. معادله فائق پنمن- مانتیث به داده‌های زیادی نیاز دارد. اگر بخواهیم از تعداد و روای آن بکاهیم، ممکن است حساسیت مدل نسبت به داده حذف شده زیاد باشد و در میزان برآورد تأثیر چشم‌گیری داشته باشد و باعث شود برآورد انجام شده دور از واقعیت باشد. بنابرین اگر بجای حذف کردن داده بخواهیم آن داده را با استفاده از پارامترهایی که اندازه‌گیری آن آسان است و در دسترس

۱۰- دانشجوی کارشناسی ارشد و دانشیار گروه مهندسی آبیاری و زهکشی،
دانشکده کشاورزی، دانشگاه تربیت مدرس، تهران

۳- استادیار گروه آبیاری و زهکشی، موسسه تحقیقات فنی و مهندسی کشاورزی،

کرج

ساحلی مساوی با 16°C و 19°C می‌باشد (۷). داده‌های سرعت باد را یا از ایستگاه‌های مجاور و یا از طریق میانگین دراز مدت باد در یک منطقه به دست می‌آورند. چنانچه داده‌های سرعت باد در منطقه موجود نباشد، می‌توان از مقدار ۲ متر بر ثانیه به عنوان یک تخمین نسبتاً درست اولیه، استفاده کرد. در این تحقیق از ۱۱ مدل داده محدود استفاده شد که هر کدام دارای وروودی‌های متفاوتی می‌باشند که در جدول ۲ ارائه شده است (۱۵).

آنالیز حساسیت: برای انجام آنالیز حساسیت به روش ضریب حساسیت، باید از مدل نسبت به متغیرهای مستقل مختلف مشتق‌گیری شود. برای این کار به جای استفاده از مشتق جزئی، از تعریف اولیه مشتق، یعنی تغییرات متغیر وابسته در محدوده تغییرات بسیار کوچک از متغیر مستقل، استفاده می‌شود. مثبت یا منفی شدن ضریب حساسیت نشان می‌دهد با افزایش مقدار متغیر مستقل مقدار تبخیر-تعرق به ترتیب افزایش یا کاهش می‌یابد. مقدار ضریب حساسیت بزرگ نشان دهنده حساسیت زیاد مدل نسبت به متغیر مورد بررسی است. ضریب حساسیت به ازای 10°C درصد تغییرات متغیر مستقل (معادله ۱۰) محاسبه شده است (۱۰ و ۱۱).

$$S_{vi} = \frac{\partial ET_{Vi}}{\partial v_i} = \lim_{\Delta v_i \rightarrow 0} \frac{\Delta ET/ET}{\Delta v_i/v_i} = \frac{ET(v + \Delta v) - ET(v)}{\Delta v} \frac{v}{ET(v)} \quad (10)$$

ترجمه کویک و کولاکویک (۱۶) در شش ایستگاه هواشناسی در کشور یوگسلاوی در شمال شرق اروپا، برآورد تبخیر-تعرق مرجع ماهانه با داده‌های محدود آب و هوایی را مورد بررسی قرار دادند. ایشان با استفاده از معادله فائق پنمن-مانیث و داده‌های حداکثر و حداقل دما، تبخیر-تعرق مرجع ماهانه را برآورد نمودند. نتایج به دست آمده را با روش‌های هارگریوز اصلاح شده و ترک و روش شیکه‌های عصی مصنوعی مقایسه کردند. نتایج نشان داد در بیشتر موارد، معادله فائق پنمن-مانیث با داده‌های محدود، برآورد نزدیکتری به روش FAO-PM-56 با داده‌های کامل دارد. حداقل داده‌های لازم برای اقلیم مربوط، حداقل و حداکثر دما و سرعت باد منطقه ذکر گردید.

در تحقیقی دیگر، پائولو و همکاران (۱۳) در ۱۲ ایستگاه هواشناسی در کشور کانادا به بررسی اثر کاهش پارامترهای اندازه‌گیری شده در معادله فائق پنمن-مانیث پرداختند. ایشان با استفاده از معادلات موجود در نشریه ۵۶-FAO، بعضی از پارامترهای ورودی معادله پنمن مانیث را برآورد کردند و به این ترتیب از ورودی معادله کاسته شد. ایشان معادلات داده‌های محدود را با مدل‌های هارگریوز سامانی، ترننت وایت و پرستلی-تیلور مقایسه کردند. برای مقایسه مدل‌ها از آماره‌های RMSE، MBE، R^2 و شیب خط رگرسیون استفاده کردند. نتایج حاکی از آن بود که معادله فائق پنمن-مانیث، در حالتی که سرعت باد اندازه‌گیری نشده باشد، از دقت بالاتری برخوردار است. رحیمی (۶) در منطقه گرم و خشک استان خوزستان تبخیر-تعرق گیاه مرجع را با داده‌های محدود به دست آورد. در این تحقیق از دو روش استفاده شد.

غربی ایالات متحده و همچنین در سایر نقاط به صورت گستردگی مورد استفاده قرار گرفته است (۱۸).

$$ET_0 = a + b[p(0.46T + 8.13)] \quad (3)$$

$$a = 0.0043RH_{min} - \frac{n}{N} - 1.41 \quad (4)$$

$$b = 0.82 - 0.0041RH_{min} + 1.07(n/N) + 0.066u_{day} \quad (5)$$

$$- 0.006RH_{min} \frac{n}{N} - 0.0006RH_{min} u_{day}$$

که در آن n ساعت آفتابی واقعی، N حداکثر ساعت آفتابی، u_{day} سرعت باد روزانه در ارتفاع دو متری (m/s) و RH_{min} حداقل رطوبت نسبی روزانه (درصد) می‌باشد. دیگر مدل تجربی استفاده شده، مدل هارگریوز سامانی اصلاح شده بود (۱۱). این معادله برای مناطق مرطوب مقادیر ET_0 را دست بالا برآورد می‌کند (۱۲).

$$ET_0 = 0.0135 k_T R_a (T + 17.8) \sqrt{T_{max} - T_{min}} \quad (6)$$

که در آن T_{max} دمای حداکثر روزانه ($^{\circ}\text{C}$), T_{min} دمای حداقل روزانه ($^{\circ}\text{C}$), R_a تابش برونجویی ($\text{MJ/m}^2\text{.day}$) و k_T معادله ضریب (۱۳).

تابعی درجه دو از اختلاف دمای حداقل و حداکثر می‌باشد.

روش فائق-پنمن-مانیث دارای پایه فیزیکی قوی می‌باشد و برای تخمین درست تبخیر-تعرق مرجع در سرتاسر دنیا استفاده شده است. در این تحقیق، روش فائق-پنمن-مانیث به عنوان روش استاندارد برای تخمین تبخیر-تعرق مرجع در نظر گرفته شد. این معادله به فرم زیر می‌باشد (۲).

$$ET_0 = \frac{0.408\Delta(R_n - G) + \gamma \frac{900}{T + 273} U_2 \times (e_s - a)}{\Delta + \gamma(1 + 0.34U_2)} \quad (7)$$

که در آن R_n تابش خالص ($\text{MJ/m}^2\text{.day}$), G شار حرارت خاک ($\text{MJ/m}^2\text{.day}$), e_s فشار بخار واقعی (KP), a فشار بخار اشباع ($\text{KP}^{\circ}/\text{c}$) و γ ثابت سایکرومتری ($\text{KP}/\text{c}^{\circ}$) می‌باشد.

برآورد داده‌های غیر موجود: هرگاه داده‌های رطوبت موجود نباشند و یا صحت داده‌ها مورد تردید باشد، با فرض این که دمای نقطه شبنم به دمای حداقل روزانه نزدیک باشد، فشار بخار واقعی از رابطه زیر محاسبه می‌شود (۷).

$$e_a = e(T_{min}) = 0.611 \exp \frac{17.27T_{min}}{T_{min} + 237.3} \quad (8)$$

در زمانی که داده‌های تابش در اختیار نباشد از معادله زیر استفاده می‌شود (۷، ۸ و ۱۴).

$$R_S = K_{RS} \sqrt{T_{max} - T_{min}} R_a \quad (9)$$

که در آن K_{RS} ضریب اصلاحی است که برای مناطق غیر ساحلی و

جدول ۱- موقعیت جغرافیایی و اقلیم ایستگاه های هواشناسی

ایستگاه	طول جغرافیایی (درجه)	عرض جغرافیایی (درجه)	ارتفاع از سطح دریا(متر)	P/ET _O	نوع اقلیم
آستانه	۳۸° ۲۵'	۴۸° ۵۲'	-۱۸۰	۱/۵۲	مرطب
رامسر	۳۶° ۵۴'	۵۰° ۴'	-۲۰۰	۱/۴۰	مرطب
رشت	۳۷° ۱۲'	۴۹° ۳۹'	۳۶/۷	۱/۳۲	مرطب
کرمانشاه	۳۴° ۲۱'	۴۷° ۹'	۱۳۱۸/۶	۰/۲۸	گرم و نیمه خشک
ارومیه	۳۷° ۳۳'	۴۵° ۵'	۱۳۱۵/۹	۰/۲۷	گرم و نیمه خشک
تبیز	۳۸° ۵'	۴۶° ۱۷'	۱۳۶۱/۰	۰/۲۶	گرم و نیمه خشک
Zahedan	۲۹° ۲۸'	۶۰° ۵۲'	۱۳۷۰/۰	۰/۰۴	بسیار خشک
کرمان	۳۰° ۱۵'	۵۶° ۵۸'	۱۷۵۳/۸	۰/۰۹	بسیار خشک
یزد	۳۱° ۵۴'	۵۴° ۱۷'	۱۲۳۷/۲	۰/۰۴	بسیار خشک

تحقیق ایستگاه های انتخاب شده دارای دوره آماری ۲۰۰۸-۱۹۸۴ (۲۵ ساله) بوده و از داده های روزانه استفاده شد. دسته بندی اقلیمی ایستگاه ها با استفاده از پارامتر متوسط رطوبت نسبی سالانه انجام گرفت (جدول ۱) که رطوبت نسبی سالانه به صورت P/ET_O تعریف شد. P میانگین دراز مدت بارندگی سالانه و ET_O مقدار میانگین دراز مدت تبخیر- تعرق مرجع سالانه، که با استفاده از روش هارگریوز- سامانی تخمین زده شده است، می باشد (۹).

مدل های استفاده شده: در این تحقیق از ۴ مدل تجربی، ۱۱ مدل داده محدود و ۱۰ مدل شبکه عصبی استفاده شد. این مدل ها در جدول ۲ آورده شده اند. تبخیر- تعرق مرجع با استفاده از این مدل ها محاسبه شد.

شبکه های عصبی مصنوعی: شبکه های عصبی مصنوعی (ANN) ابزار نسبتاً سریع و قابل انعطافی برای مدل سازی به شمار می آیند و ذر نتیجه در مباحث مدل سازی در هیدرولوژی و هواشناسی، به منظور حل مسائل مربوط به تخمین زدن، پیش بینی و طبقه بندی، به کار گرفته شده اند. طراحی معماری آن (ایه های پنهان و نرون های مربوطه) عموماً بر مبنای روش سعی و خطأ است (۴ و ۵). ساختار معمول آن مشتمل از سه لایه، لایه ورودی (داده ها را در شبکه توزیع می کند)، لایه پنهان (داده ها را پردازش می کند) و لایه خروجی (نتایج را به ازای ورودی های مشخص استخراج می کند) می باشد. این شبکه ها مدل های محاسباتی هستند که قادرند رابطه میان ورودی ها و خروجی های یک سیستم فیزیکی را توسط شبکه های از گره ها که همگی به هم متصل هستند، تعیین نمایند. برای طراحی شبکه ها از نرم افزار MATLAB7.8 استفاده شد. داده های ورودی، پارامتر های هواشناسی و داده خروجی، تبخیر- تعرق به روش FAO-PM بود. هرچه تعداد لایه ها و تعداد نرون های هر لایه کمتر باشد، شبکه از عماری بهتری برخوردار است. بر این اساس، نوع شبکه استفاده شده پیش رو، تابع انتقال TANSIG (تائزانت هیپر بولیک)، یک لایه مخفی و تعداد پنج نرون در آن لایه بود.

در روش اول معادله فائق پنمن- مانتیث به صورتی حل شد که پارامتر های فشار بخار و تابش آفتاب، با استفاده از روابط تجربی، بر اساس دمای حداکثر و حداقل هوا تعیین گردیدند. در این روش داده های مورد نیاز محدود به دمای هوا و سرعت باد بودند. در روش دیگر معادله هارگریوز محاسبه گردید. نتایج دو روش با روش فائق پنمن- مانتیث مورد مقایسه قرار گرفتند و نتایج نشان داد که معادله هارگریوز همبستگی کمی با مقادیر فائق پنمن- مانتیث دارد؛ اما روش فائق پنمن- مانتیث در حالت داده های محدود، همبستگی زیادی با معادله فائق پنمن- مانتیث دارد (۶). با توجه به پژوهش های صورت گرفته، محاسبه تبخیر- تعرق به روش کاهش داده فقط در بعضی نقاط مربوط جهان انجام گرفته و همچنین تبخیر- تعرق به صورت ماهانه محاسبه شده است، لذا محاسبه تبخیر- تعرق روزانه در اقلیم های مختلف در این تحقیق بررسی شده است. هدف اصلی این تحقیق به دست آوردن معادلاتی است که به پارامتر های ورودی کمتری نیاز داشته باشند. بنابراین از معادلاتی استفاده شده که به کمترین پارامتر نیاز داشته باشند. هدف دیگر، تعیین کمترین تعداد FAO-56- PM انجام داد.

مواد و روش ها

ایستگاه های هواشناسی در این تحقیق بر اساس نوع اقلیم انتخاب شدند. بدین ترتیب کل ایران به سه اقلیم بسیار خشک، گرم و نیمه خشک و مرطب تقسیم شد (۱، ۳ و ۹). با توجه به مقدار پارامتر رطوبت نسبی سالانه، ایستگاه های هواشناسی در سه اقلیم بسیار خشک، خشک و نیمه خشک و مرطب به شرح زیر دسته بندی شدند: اقلیم مرطب که مقدار رطوبت نسبی سالانه مساوی یا بالاتر از ۱ است، اقلیم خشک و نیمه خشک که مقدار رطوبت نسبی سالانه بین ۰/۱ و ۰/۰ است و اقلیم بسیار خشک که مقدار رطوبت نسبی سالانه پایین تر از ۰/۰ است. از هر اقلیم سه ایستگاه انتخاب شد. در این

جدول ۲- پارامترهای ورودی مورد نیاز مدل‌های مختلف

n	U2	Rn	RH	Tdew	Tmean	Tmin	Tmax	مدل
*	*		*	*		*	*	ANN1
*	*		*			*	*	ANN2
*	*	*	*		*			ANN3
*			*		*			ANN4
*						*	*	ANN5
*	*		*					ANN6
*					*			ANN7
*				*	*			ANN8
*			*					ANN9
					*			ANN10
				*		*	*	PMteu
*	*					*	*	PMtnu
*				*		*	*	PMten,l
*				*		*	*	PMten,r
*					*		*	PMtu
*				*		*	*	PMte,l
*					*		*	PMte,r
*					*		*	PMtn,l
*					*		*	PMtn,r
*					*		*	PMt,l
*					*		*	PMt,r
							*	HS
*			*		*	*	*	T
*	*	*	*		*	*	*	B-C

$$R^2 = \frac{\sum_{i=1}^n (p_i - \bar{p})(o_i - \bar{o})^2}{\sum_{i=1}^n (p_i - \bar{p})^2 \sum_{i=1}^n (o_i - \bar{o})^2} \quad (13)$$

$$RMSE = \sqrt{\frac{\sum_{i=1}^n (p_i - o_i)^2}{n}} \quad (14)$$

که در این روابط N تعداد نمونه، P_i مقادیر پیش‌بینی شده توسط مدل، O_i مقادیر مشاهده شده، \bar{p} میانگین مقادیر پیش‌بینی شده توسط مدل و \bar{o} میانگین مقادیر مشاهده شده می‌باشد.

نتایج و بحث

عملکرد مدل‌های مختلف در اقلیم مرطوب: با توجه به نتایج جدول ۳ در اقلیم مرطوب، در بین معادلات تجربی استفاده شده، معادله ترک به عنوان بهترین و معادله بلانی کریدل به عنوان بدترین معادله معرفی می‌شوند. در بین مدل‌های داده محدود، مدل PMtnu بهترین مدل و مدل PMt,r با کمترین دقت است. مدل PMt,r، چون در آن فقط از داده‌های دمایی هوا استفاده شد و سایر پارامترها به وسیله معادلاتی که فقط به دما بستگی داشتند به دست آمد، دقت پایین‌تری

شرطیت داده محدود: برای شرایطی که تمام پارامترهای هواشناسی در دسترس نباشد و یک سری از پارامترها بنا به هر دلیلی (اندازه‌گیری نشده باشند، مفهود شده باشند، در دسترس نباشند و ...) موجود نباشند، می‌توان با استفاده از مدل‌های تجربی، داده محدود و شبکه عصبی، مدلی را انتخاب کرد که دارای دقت نسبتاً بالا و خطای کمتر باشد. بنابراین حالات‌های متفاوتی در نظر گرفته شد و برای هر حالت بین مدل‌ها مقایسه انجام گرفت و مدل برتر انتخاب شد. برای هر حالت، انتخاب مدل برتر با توجه به رتبه‌بندی شاخص‌های آماری و محاسبه رتبه کل بر اساس رتبه مدل در هر چهار شاخص ذکر شده در روابط ۱۰ تا ۱۴، انجام گرفت.

اعتباریابی و مقایسه عملکرد بهترین مدل: در این مطالعه از پارامترهای ریشه میانگین مربعات خطأ (RMSE)، ضریب تعیین (R^2)، خطای نسبی (RE) و خطای انحراف میانگین (MBE)، برای مقایسه کارایی مدل‌های مختلف استفاده شده است.

$$RMSE = \left(\frac{1}{N} \sum_{i=1}^N (P_i - O_i)^2 \right)^{0.5} = \sqrt{\left(\frac{1}{n} \sum_{i=1}^n (ETo_{est} - ETo_{FAOPM}) \right)} \quad (11)$$

$$MBE = \frac{1}{n} \sum_{i=1}^n (p_i - o_i) = \frac{1}{n} \sum_{i=1}^n (ETo_{est} - ETo_{FAOPM}) \quad (12)$$

استفاده از مقدار عددی ۲ متر بر ثانیه به جای سرعت باد می باشد. از طرفی چون مدل پنمن- مانیتیث با پارامتر سرعت باد رابطه مستقیم دارد، بنابرین با افزایش سرعت باد بایستی مدل برآورد بیشتری انجام دهد (MBE Mثبت باشد). مدل I₁ PMt₁ به عنوان مدلی که هم به داده کم (فقط دما) نیاز داشته و هم دقت بالایی داشت، انتخاب شد. در این مدل چون از میانگین داده های سرعت باد در طول دوره آماری ANN1 استفاده شده است، مدل نتیجه نسبتاً بهتری ارائه داد. شبکه با ورودی های کامل، به عنوان بهترین شبکه انتخاب شد و شبکه ANN9 کمترین دقت را داشت. شبکه ANN10 تنها با ورودی دمای میانگین نتایج نسبتاً خوبی ارائه داد (جدول ۴ الف).

عملکرد مدل های مختلف در اقلیم بسیار خشک: معادله هارگریوز سامانی در اقلیم بسیار خشک نتایج بهتری، نسبت به اقلیم مرطوب و اقلیم گرم و نیمه خشک ارائه داد. در بین مدل های داده محدود، مدل PMtnu به عنوان بهترین مدل و مدل I₁ PMt₁ به عنوان بدترین مدل انتخاب شد. مدل PMtu با توجه به مقادیر شاخص های آماری، به عنوان مناسب ترین مدل در شرایط داده محدود معرفی شد. این مدل نیاز به داده های اندازه گیری شده دما و سرعت باد دارد؛ بنابراین در اقلیم بسیار خشک داده های دما و سرعت باد برای یک برآورد دقیق و نسبتاً خوب، لازم می باشد. نتایج هر ۱۰ مدل شبکه عصبی مصنوعی برای ایستگاه بیزد، در جدول ۴ ب ارائه شده است. برای سایر ایستگاه های اقلیم بسیار خشک، نتایج مشابه به دست آمد. مدل ANN1 بهترین شبکه و مدل ANN7 مناسب ترین شبکه انتخاب شد. شبکه ANN7 به پارامتر ورودی کمتر نیاز دارد.

عملکرد در شرایط داده محدود: در اقلیم مرطوب در همه حالات مدل های کاهش داده در رتبه بندی کل رتبه یک را به دست آوردن. با توجه به نتایج به دست آمده، کمترین داده برای به دست آوردن تبخیر- تعرق مرجع در این اقلیم، داده های روزانه دمای هوا و میانگین طولانی مدت سرعت باد منطقه معرفی می شود (جدول ۵). در اقلیم گرم و نیمه خشک، در همه حالات مدل های کاهش داده در اقلیم گرم و نیمه خشک، در همه حالات، مدل های کاهش داده رتبه یک را به دست آوردن. در این اقلیم با توجه به نتایج به دست آمده، کمترین داده برای به دست آوردن تبخیر- تعرق مرجع، داده های دمای هوا و میانگین طولانی مدت سرعت باد منطقه معرفی می شود (جدول ۶). در اقلیم بسیار خشک، در همه حالات مدل های کاهش داده در رتبه بندی کل رتبه یک را کسب کردند. در این اقلیم با توجه به نتایج به دست آمده، کمترین داده برای به دست آوردن تبخیر- تعرق مرجع، داده های روزانه دمای هوا و سرعت باد روزانه معرفی می شود (جدول ۷).

نتایج ضرایب حساسیت: شکل ۱ نشان می دهد که مدل فائق پنمن- مانیتیث در اقلیم های مختلف بیشترین حساسیت را نسبت به دما دارد. با توجه به نتایج به دست آمده برای ضریب حساسیت، مدل ترک چون مدلی تابشی است، حساسیت بیشتری نسبت به تابش

دارد. مدل I₁ PMt₁ تنها با استفاده از دما و عرض جغرافیایی توانست برآورد قابل قبولی داشته باشد. بهترین شبکه در این اقلیم، شبکه ANN1 معرفی شد. این شبکه به علت اینکه دارای تعداد ورودی زیاد بود، طبیعی بود که بتواند برآورد دقیقی انجام دهد. شبکه ANN9 کمترین دقت را داشت. شبکه ANN10 هم تنها با ورودی دما نتیجه نسبتاً خوبی دارد. نتایج برای هر سه ایستگاه با اقلیم مرطوب، مشابه به دست آمد. بنابراین در هر حالت فقط نتایج یک ایستگاه آورده شده است. نتایج کل در جدول ۳ ارائه شده است.

جدول ۳- عملکرد مدل های مختلف در ایستگاه رشت

R ²	RE	MBE	RMSE	مدل
.۹۵	.۱۵	-۰/.۰۴	.۳۵	ANN1
.۹۵	.۱۵	-۰/.۰۴	.۳۵	ANN2
.۹۳	.۱۸	-۰/.۰۴	.۴۲	ANN3
.۸۳	.۲۷	.۰۶	.۶۴	ANN4
.۸۲	.۲۸	-۰/.۰۹	.۶۵	ANN5
.۸۳	.۲۷	.۰۹	.۶۴	ANN6
.۷۰	.۳۶	-۰/.۱۱	.۸۴	ANN7
.۸۱	.۲۸	.۰۹	.۶۷	ANN8
.۵۱a	.۴۶	.۰۹	.۰۷	ANN9
.۶۷	.۳۷	-۰/.۰۶	.۸۸	ANN10
.۹۳	.۲۲	.۲۸	.۵۱	PMteu
.۹۹	.۰۶	.۰۲	.۱۵	PMtnu
.۹۶	.۱۴	.۰۳	.۳۲	PMten,l
.۹۶	.۱۷	.۲۳	.۴۰	PMten,r
.۹۲	.۲۴	.۳۰	.۵۵	PMtu
.۸۹	.۲۷	.۳۱	.۶۱	PMte,l
.۹۱	.۳۱	.۴۸	.۷۱	PMte,r
.۹۴	.۱۷	.۱۰	.۳۹	PMtn,l
.۹۳	.۲۴	.۳۵	.۵۶	PMtn,r
.۸۷	.۲۹	.۳۷	.۶۸	PMt,l
.۸۸	.۳۷	.۶۰	.۸۴	PMt,r
.۸۸	.۶۷	.۵۵	.۰۷	HS
.۹۳	.۳۴	-۰/.۳۳	.۷۹	T
.۷۴	.۴۶	-۱/.۲۶	.۵۵	B-C

عملکرد مدل های مختلف در اقلیم گرم و نیمه خشک: با توجه به نتایج جدول ۳ در اقلیم گرم و نیمه خشک، در بین مدل های تجربی معادله هارگریوز سامانی نتایج بهتری را ارائه داد. این نتایج با نتایج یزدان خواه و احمدزاده (۱ و ۳) مطابقت دارد. در ایستگاه کرمانشاه در بین مدل های داده محدود، مدل PMtnu به عنوان بهترین مدل عمل کرد و مدل (PMt,r) کمترین دقت را داشت. علت اینکه این مدل نتوانسته همانند مدل های دیگر خوب عمل کند،

فقط داده‌های دما و ساعت آفتابی باشد، مدل PMtu و در حالتی که فقط داده‌های اندازه‌گیری شده دمای هوا در دسترس باشد، مدل PMt, l به عنوان مدل برتر انتخاب شد. با توجه به اینکه مدل‌های کاهش داده در همه موارد رتبه ۱ را کسب کردند، در شرایط کمبود داده در اقلیم‌های مختلف ایران این مدل‌ها توصیه می‌شوند. به علت نبود داده‌های لایسیمتر، در تحقیق حاضر روش فائق پنمن- مانتیث به عنوان مدل استاندارد انتخاب شد و کل مدل‌ها با آن مقایسه شدند. پیشنهاد می‌شود در تحقیقات آتی برای ارزیابی دقیق مدل‌های داده محدود برای روش فائق پنمن- مانتیث، از داده‌های لایسیمتر به عنوان روش مبنا و استاندارد استفاده شود.

داشت؛ اما سایر مدل‌های تجربی حساسیت بیشتری به دما داشتند. با توجه با اینکه این پارامتر در همه ایستگاه‌ها با دقت بالایی اندازه‌گیری می‌شود، بنابراین تأثیر مهمی در تعیین تبخر- تعرق مرجع با استفاده از روش‌های داده محدود دارد.

نتیجه‌گیری

برای شرایطی که داده‌های نقطه شنبه در دسترس نباشد، بهترین مدل در اقلیم مرطوب و گرم و نیمه خشک مدل PMtnu و در اقلیم بسیار خشک مدل ANN2 به دست آمد. در شرایطی که داده‌های ساعت آفتابی در دسترس نباشد، در هر سه اقلیم مدل PMtu به عنوان بهترین مدل انتخاب شد. در حالتی که پارامترهای ورودی مدل

جدول ۴- عملکرد مدل‌های مختلف

الف- اقلیم گرم و نیمه خشک، ایستگاه بسیار خشک، ایستگاه بیزد				ب- اقلیم بسیار خشک، ایستگاه کرمانشاه				
R2	RE	MBE	RMSE	R2	RE	MBE	RMSE	مدل
.۹۸	.۰۶	-۰.۰۵	.۲۴	.۹۹	.۰۷	-۰.۰۷	.۲۷	ANN1
.۹۸	.۰۷	-۰.۰۶	.۲۴	.۹۸	.۰۸	-۰.۰۸	.۳۰	ANN2
.۹۷	.۰۸	.۰۲	.۳۰	.۹۸	.۰۸	-۰.۰۸	.۳۱	ANN3
.۹۱	.۱۴	.۰۳	.۵۲	.۹۱	.۱۷	.۰۱	.۶۴	ANN4
.۹۱	.۱۵	-۰.۱۶	.۵۶	.۹۳	.۱۵	.۰۷	.۵۵	ANN5
.۹۱	.۱۵	.۱۴	.۵۵	.۹۳	.۱۷	-۰.۱۲	.۶۲	ANN6
.۸۶	.۱۸	-۰.۱۰	.۶۵	.۸۸	.۲۴	.۰۱	.۸۹	ANN7
.۶۹	.۱۹	-۰.۰۹	.۶۹	.۸۶	.۲۲	-۰.۱۷	.۸۱	ANN8
.۵۹	.۳۴	-۰.۴۸	.۲۵	.۷۱	.۳۱	-۰.۱۰	.۱۵	ANN9
.۷۹	.۲۲	-۰.۲۳	.۸۲	.۷۴	.۲۹	-۰.۲۲	.۰۸	ANN10
.۹۸	.۱۰	.۲۴	.۳۹	.۹۹	.۱۰	.۱۹	.۳۴	PMteu
.۹۹	.۰۹	-۰.۲۲	.۳۴	.۹۹	.۰۸	-۰.۱۹	.۲۷	PMtnu
.۹۱	.۱۵	.۰۶	.۵۴	.۹۳	.۱۵	.۰۷	.۵۴	PMten,l
.۹۱	.۱۵	.۱۸	.۵۷	.۹۲	.۱۸	.۲۸	.۶۲	PMten,r
.۹۶	.۰۹	-۰.۱۳	.۳۷	.۹۸	.۰۹	-۰.۰۱	.۳۱	PMtu
.۸۹	.۱۸	.۳۱	.۶۷	.۹۲	.۱۸	.۲۵	.۶۴	PMte,l
.۸۸	.۲۰	.۴۲	.۷۴	.۹۲	.۲۲	.۴۶	.۷۷	PMte,r
.۹۱	.۱۶	-۰.۲۳	.۶۱	.۹۲	.۱۷	-۰.۱۱	.۶۰	PMtn,l
.۹۰	.۱۶	-۰.۱۴	.۵۸	.۹۲	.۱۷	.۰۶	.۶۰	PMtn,r
.۸۸	.۱۶	.۰۲	.۶۱	.۹۱	.۱۷	.۰۸	.۶۲	PMt,l
.۸۸	.۱۷	.۱۰	.۶۳	.۹۰	.۱۹	.۲۵	.۶۸	PMt,r
.۸۶	.۱۶	-۰.۰۳	.۶۰	.۹۲	.۲۰	.۳۴	.۷۲	HS
.۸۸	.۰۵۵	-۱.۸۵	۲/۰۳	.۸۹	.۰۶۷	-۲/۱۱	۲/۲۷	T
.۸۷	.۰۶۱	-۱.۸۷	۲/۲۵	.۸۹	.۰۶۵	-۱/۷۷	۲/۳۰	B-C

جدول ۵- مقایسه مدل های مختلف در شرایط کمبود داده در اقلیم مرطوب (ایستگاه آستانه)

در حالتی که داده رطوبت نسبی در دسترس نباشد

رتبه	R ²	RE	MBE	RMSE	مدل
۲	(۲)۰/۹۵	(۲)۰/۱۶	(۲)-۰/۰۲	(۲)۰/۳۵	ANN2
۱	(۱)۰/۹۹	(۱)۰/۰۷	(۱)۰/۰۰	(۱)۰/۱۷	PMtnu
۴	(۴)۰/۸۰	(۴)۰/۴۷	(۴)-۰/۳۳	(۴)۱/۰۶	B-C
۵	(۳)۰/۹۱	(۵)۰/۶۷	(۵)-۱/۲۱	(۵)۱/۵۱	HS
۳	(۲)۰/۹۵	(۳)۰/۲۴	(۳)۰/۲۶	(۳)۰/۵۳	T

در حالتی که داده های تابش در دسترس نباشد

۲	(۳)۰/۸۴	(۲)۰/۲۹	(۱)۰/۰۶	(۲)۰/۶۳	ANN4
۱	(۱)۰/۹۴	(۱)۰/۱۸	(۲)۰/۰۷	(۱)۰/۴۰	PM _{teu}
۳	(۲)۰/۹۱	(۳)۰/۶۷	(۳)-۱/۲۱	(۳)۱/۵۱	HS

در حالتی که داده های تابش و رطوبت نسبی در دسترس نباشد

۲	(۲)۰/۷۷	(۲)۰/۳۴	(۲)-۰/۰۹	(۲)۰/۷۵	ANN7
۱	(۱)۰/۹۳	(۱)۰/۱۹	(۱)۰/۰۷	(۱)۰/۴۲	PM _{tu}

در حالتی که فقط از داده های دما استفاده شود

۱	(۱)۰/۹۱	(۱)۰/۲۱	(۲)۰/۰۸	(۱)۰/۴۷	PM _{t,l}
۳	(۱)۰/۹۱	(۲)۰/۲۴	(۳)۰/۲۶	(۳)۰/۵۴	PM _{t,r}
۴	(۲)۰/۷۱	(۳)۰/۳۸	(۱)۰/۰۱	(۴)۰/۸۳	ANN10
۲	(۱)۰/۹۱	(۲)۰/۲۴	(۳)۰/۲۶	(۲)۰/۵۳	HS

در حالتی داده های سرعت باد در دسترس نباشد

۱۰	(۶)۰/۹۱	(۱۰)۰/۶۷	(۱۰)-۱/۲	(۱۰)۱/۵۱	HS
۱	(۱)۰/۹۸	(۱)۰/۱۰	(۱)۰/۰۰	(۱)۰/۲۳	PMten,l
۳	(۲)۰/۹۷	(۳)۰/۱۴	(۶)۰/۱۷	(۳)۰/۳۲	PMten,r
۵	(۵)۰/۹۲	(۵)۰/۲۰	(۳)۰/۰۷	(۵)۰/۴۶	PMte,l
۷	(۶)۰/۹۱	(۷)۰/۲۳	(۸)۰/۲۳	(۷)۰/۵۳	PMte,r
۲	(۲)۰/۹۷	(۲)۰/۱۳	(۲)۰/۰۱	(۲)۰/۲۸	PMtn,l
۴	(۳)۰/۹۶	(۴)۰/۱۷	(۷)۰/۰۰	(۴)۰/۳۷	PMtn,r
۶	(۶)۰/۹۱	(۶)۰/۲۱	(۴)۰/۰۸	(۶)۰/۴۷	PMt,l
۸	(۶)۰/۹۱	(۸)۰/۲۴	(۹)۰/۲۶	(۸)۰/۵۴	PMt,r
۹	(۷)۰/۸۰	(۹)۰/۳۲	(۵)۰/۱۲	(۹)۰/۷۱	ANN8

جدول ۶- مقایسه مدل‌های مختلف در شرایط کمبود داده در اقلیم گرم و نیمه خشک (ایستگاه ارومیه)

در حالتی که داده رطوبت نسبی در دسترس نباشد

رتبه	R ²	RE	MBE	RMSE	مدل
۲	(۲)۰/۹۷	(۲)۰/۱۲	(۱)۰/۰۸	(۲)۰/۳۵	ANN2
۱	(۱)۰/۹۸۵	(۱)۰/۰۷	(۲)۰/۱۲	(۱)۰/۱۹	PMtnu
۴	(۴)۰/۹۱	(۴)۰/۵۴	(۴)۰/۰۳	(۴)۰/۵۹	B-C
۳	(۳)۰/۹۴	(۳)۰/۲۰	(۳)۰/۳۲	(۳)۰/۵۹	HS
۵	(۲)۰/۹۴	(۲)۰/۶۴	(۲)۰/۴۶	(۲)۰/۱۸۶	T

در حالتی که داده‌های تابش در دسترس نباشد

۲	(۳)۰/۹۰	(۲)۰/۲۰	(۱)۰/۰۴	(۲)۰/۵۹	ANN4
۱	(۱)۰/۹۸	(۱)۰/۱۱	(۲)۰/۱۷	(۱)۰/۳۳	PM _{teu}
۳	(۲)۰/۹۴	(۲)۰/۲۰	(۲)۰/۳۲	(۲)۰/۵۹	HS

در حالتی که داده‌های تابش و رطوبت نسبی در دسترس نباشد

۲	(۲)۰/۸۹	(۲)۰/۲۲	(۲)۰/۰۹	(۲)۰/۶۴	ANN7
۱	(۱)۰/۹۷	(۱)۰/۱۰	(۱)۰/۰۵	(۱)۰/۳۱	PM _{tu}

در حالتی که فقط از داده‌های دما استفاده شود

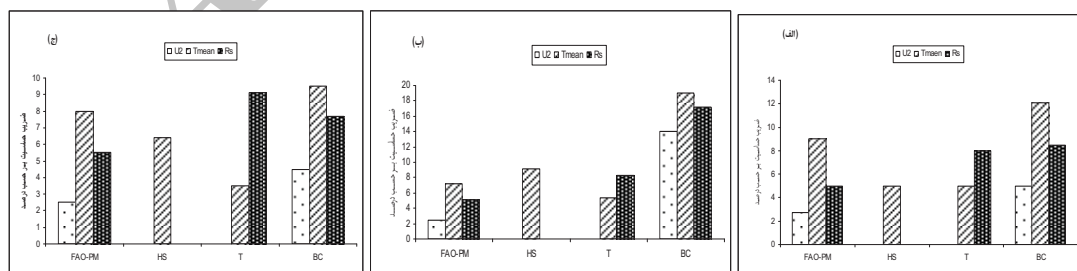
۱	(۱)۰/۹۴	(۱)۰/۱۴	(۱)۰/۰۶	(۱)۰/۴۲	PM _{t,l}
۲	(۱)۰/۹۴	(۲)۰/۱۸	(۳)۰/۲۵	(۲)۰/۵۳	PM _{t,r}
۴	(۲)۰/۸۵	(۴)۰/۸۵	(۲)۰/۲۴	(۴)۰/۷۷	ANN10
۳	(۱)۰/۹۴	(۳)۰/۲۰	(۴)۰/۳۲	(۳)۰/۵۹	HS

در حالتی داده‌های سرعت باد در دسترس نباشد

۸	(۴)۰/۹۴	(۷)۰/۲۰	(۹)۰/۱۲	(۷)۰/۵۹	HS
۱	(۱)۰/۹۷	(۱)۰/۱۱	(۱)۰/۰۰	(۱)۰/۳۲	PMten,l
۵	(۲)۰/۹۶	(۴)۰/۱۵	(۸)۰/۲۶	(۵)۰/۴۵	PMten,r
۶	(۳)۰/۹۵	(۵)۰/۱۵	(۵)۰/۱۶	(۴)۰/۴۳	PMte,l
۹	(۳)۰/۹۵	(۸)۰/۲۲	(۱۰)۰/۴۲	(۸)۰/۶۴	PMte,r
۳	(۲)۰/۹۶	(۲)۰/۱۳	(۴)۰/۱۱	(۲)۰/۳۷	PMtn,l
۲	(۲)۰/۹۶	(۲)۰/۱۳	(۳)۰/۱۰	(۲)۰/۳۷	PMtn,r
۴	(۴)۰/۹۴	(۳)۰/۱۴	(۲)۰/۰۶	(۳)۰/۴۲	PMt,l
۷	(۴)۰/۹۴	(۵)۰/۱۸	(۷)۰/۲۵	(۵)۰/۵۳	PMt,r
۱۰	(۵)۰/۸۸	(۹)۰/۲۳	(۸)۰/۱۷	(۹)۰/۶۶	ANN8

جدول ۷- مقایسه مدل های مختلف در شرایط کمبود داده در اقلیم بسیار خشک (ایستگاه کرمان)

در حالتی که داده رطوبت نسبی در دسترس نباشد					
رتبه	R ²	RE	MBE	RMSE	مدل
۱	(۲) ۰/۹۸	(۱) ۰/۰۶	(۱) -۰/۰۳	(۱) ۰/۲۴	ANN2
۲	(۱) ۰/۹۹	(۲) ۰/۰۹	(۲) -۰/۲۴	(۲) ۰/۳۲	PMtnu
۴	(۴) ۰/۸۴	(۴) ۰/۶۵	(۳) -۱/۹۳	(۴) ۲/۳۷	B-C
۳	(۵) ۰/۸۰	(۳) ۰/۱۵	(۲) ۰/۲۴	(۳) ۰/۵۳	HS
۵	(۳) ۰/۸۶	(۴) ۰/۶۵	(۵) -۲/۱۱	(۴) ۲/۳۷	T
در حالتی که داده های تابش در دسترس نباشد					
۲	(۲) ۰/۹۲	(۲) ۰/۱۴	(۱) -۰/۰۲	(۲) ۰/۵۳	ANN4
۱	(۱) ۰/۹۴	(۱) ۰/۰۸	(۲) ۰/۲۱	(۱) ۰/۲۸	PM _{teu}
۳	(۳) ۰/۸۰	(۳) ۰/۱۵	(۳) ۰/۲۴	(۲) ۰/۵۳	HS
در حالتی که داده های تابش و رطوبت نسبی در دسترس نباشد					
۲	(۲) ۰/۸۴	(۲) ۰/۲۰	(۱) ۰/۰۵	(۲) ۰/۷۵	ANN7
۱	(۱) ۰/۹۲	(۱) ۰/۱۰	(۲) -۰/۱۵	(۱) ۰/۳۵	PM _{tu}
در حالتی که فقط از داده های دما استفاده شود					
۱	(۲) ۰/۸۳	(۲) ۰/۲۴	(۱) ۰/۱۴	(۲) ۰/۸۶	PM _{t,l}
۲	(۲) ۰/۸۳	(۲) ۰/۲۴	(۲) ۰/۱۶	(۳) ۰/۸۷	PM _{t,r}
۴	(۱) ۰/۸۴	(۳) ۰/۲۷	(۴) -۰/۳۱	(۴) ۱/۰۲	ANN10
۳	(۴) ۰/۸۰	(۱) ۰/۱۵	(۳) ۰/۲۴	(۱) ۰/۵۳	HS
در حالتی داده های سرعت باد در دسترس نباشد					
۳	(۵) ۰/۸۰	(۱) ۰/۱۵	(۷) ۰/۲۴	(۱) ۰/۵۳	HS
۱	(۱) ۰/۸۷	(۲) ۰/۱۹	(۳) ۰/۱۱	(۲) ۰/۶۸	PMten,l
۲	(۱) ۰/۸۷	(۲) ۰/۱۹	(۵) ۰/۱۴	(۳) ۰/۶۹	PMten,r
۸	(۴) ۰/۸۴	(۳) ۰/۲۰	(۶) ۰/۲۲	(۵) ۰/۷۵	PMte,l
۹	(۴) ۰/۸۴	(۴) ۰/۲۱	(۸) ۰/۲۵	(۶) ۰/۷۶	PMte,r
۴	(۳) ۰/۸۵	(۳) ۰/۲۰	(۵) -۰/۱۴	(۴) ۰/۷۳	PMtn,l
۵	(۳) ۰/۸۵	(۳) ۰/۲۰	(۴) -۰/۱۲	(۴) ۰/۷۳	PMtn,r
۶	(۵) ۰/۸۳	(۴) ۰/۲۱	(۲) -۰/۰۳	(۵) ۰/۷۵	PMt,l
۷	(۵) ۰/۸۳	(۴) ۰/۲۱	(۱) -۰/۰۱	(۵) ۰/۷۵	PMt,r
۱۰	(۶) ۰/۸۰	(۵) ۰/۲۵	(۱۰) -۰/۳۵	(۷) ۰/۹۳	ANN8



شکل ۱- ضرایب حساسیت مدل های تجربی در الف- اقلیم مرطوب (ایستگاه رشت) ب- اقلیم گرم و نیمه خشک (ایستگاه ارومیه) ج- اقلیم بسیار خشک (ایستگاه یزد)

منابع

- ۱- احمد زاده ک. ۱۳۸۸. بررسی سیستم استنتاج عصبی- فازی (ANFIS) و شبکه عصبی مصنوعی (ANN) در برآورد تبخیر- تعرق مرجع روزانه. پایان نامه کارشناسی ارشد آبیاری و زهکشی، دانشکده کشاورزی، دانشگاه تربیت مدرس.
- ۲- علیزاده ا. ۱۳۸۴. اصول هیدرولوژی کاربردی. چاپ هجدهم، انتشارات دانشگاه امام رضا مشهد.
- ۳- یزدان خواه س. ۱۳۸۷. اهمیت نسبی متغیرهای هواشناسی در برآورد تبخیر- تعرق مرجع در اقلیم‌های مختلف. پایان نامه کارشناسی ارشد آبیاری و زهکشی، دانشکده کشاورزی، دانشگاه تربیت مدرس.
- ۴- نعمت پور ع. ۱۳۸۵. برآورد تأثیر مقاومت‌های آبودینامیک و تاج گیاه بر عملکرد معادله‌های فائق پنمن- مانیث و ASCE. پایان نامه کارشناسی ارشد آبیاری و زهکشی، دانشکده کشاورزی، دانشگاه تربیت مدرس.
- ۵- بهمنی ع. ۱۳۸۳. بکارگیری شبکه‌های عصبی مصنوعی جهت تخمین تبخیر- تعرق مرجع به منظور کاهش پارامترهای ورودی مورد نیاز (در منطقه تهران). پایان نامه کارشناسی ارشد آبیاری و زهکشی، دانشکده کشاورزی، دانشگاه تربیت مدرس.
- ۶- رحیمی خوب ع.، بهبهانی س.م.ر. و نظری فر.م. ۱۳۸۵. بررسی استفاده از حداقل داده‌های هواشناسی در معادله پنمن- مانیث مطالعه موردی استان خوزستان. علوم کشاورزی، شماره ۳.
- 7- Allen R.G., Pereira L.S., Raes D., and Smith M. 1998. Crop evapotranspiration guide line for computing crop water requirements. FAO Irrigation and Drainage Paper 56.
- 8- Cai J., and Santos L. 2007. Estimation reference evapotranspiration with the FAO Penman-Monteith equation using daily weather forecast messages. Agricultural and Forest Meteorology, 145: 22-35.
- 9- Dinpashoh Y. 2006. Study of reference crop evapotranspiration of Iran Agricultural Water Management, 84: 123-129.
- 10- Goyal R.K. 2004. Sensitivity of evapotranspiration to global warming: a case study of arid zone of Rajasthan (India). Agricultural Water Management, 69: 1-11.
- 11- Hargraves G.H., and Samani Z.A. 1985. Reference crop evapotranspiration from temperature. Applied Engineering in Agriculture, 1(2): 96-99.
- 12- Jensen M.E., Burman R.D., and Allen R.G. 1990. Evapotranspiration and Irrigation water Requirements. ASCE manuals and reports on engineering practice, No. 70, ASCE.
- 13- Paulo C., Terry J., and Eduardo A. 2009. Evaluation of FAO Penman-Monteith and alternative methods for estimating reference evapotranspiration with missing data in Southern Ontario, Canada. Agricultural Water Management, 97: 635-644.
- 14- Todorovic M. 1999. Single layer evapotranspiration model with variable canopy resistance. Irrigation and Drainage, 125(5): 235-245.
- 15- Trajkovic S. 2005. Temperature-based approaches for estimating reference evapotranspiration. Irrigation and Drainage, 131(4):316-340.
- 16- Trajkovic S., and Kolakovic S. 2009. Estimation reference evapotranspiration using limited weather data. Irrigation and Drainage. NO.4. ASCE. 433-449.
- 17- Turc L. 1961. Estimation of irrigation water requirements, potential evapotranspiration: a simple climatic formula evolved up to date. Annals of Agronomy, 12: 13-17.
- 18- Xu C.Y., and Singh V.P. 2002. Cross comparison of empirical equations for calculating potential evapotranspiration with data from Switzerland. Water Resources Management, 16: 197-219.



Estimating Reference Evapotranspiration Using Limited Weather Data under Different Climatic Conditions

A. Soltani¹- S.M. Mirlatifi^{2*}- H. Dehghanisaj³

Received: 7-3-2011

Accepted: 2-9-2011

Abstract

Reference evapotranspiration (ET_o) is an important agrometeorological parameter for climatological and hydrological studies, as well as for irrigation planning and management. The FAO-56 Penman-Monteith combination equation (FAO-56 PM) has been recommended by the Food and Agriculture Organization of the United Nations (FAO) as the standard equation for estimating reference evapotranspiration (ET_o). This method considers many parameters related to the evapotranspiration process; net radiation (R_n), air temperature (T), vapor pressure deficit (VPD), and wind speed (U). This paper examines the potential of FAO-56 PM equation in estimating the ET_o under difference conditions from limited weather data. For this study, full weather data sets were collected from nine difference weather stations from Iran. FAO-56 reduced-set PM ET_o estimates were in closest agreement with FAO-56 full set PM ET_o estimates at the most of locations. The difference between FAO-56 full set PM ET_o estimates and FAO-56 PM reduced-set ET_o estimates generally increases by increasing the number of estimated weather parameters. Overall results indicate that FAO-56 reduced-set PM approaches mostly provided better results compared to Turc equation, adjusted Hargreaves equation and artificial neural networks. This fact strongly supports using the FAO-56 PM equation even in the absence of the complete weather data set. The minimum and maximum air temperature data and local default wind speed value are the minimum data requirements necessary to successfully use the FAO-56 PM equation under humid and arid and semi-arid conditions and the minimum and maximum air temperature data daily and wind speed data daily are the minimum data requirements under extremely arid conditions.

Keywords: Air temperature, Estimation, Evapotranspiration, Weather data, Wind speed

1,2- MSc Student and Associate Professor, Department of Irrigation and Drainage Engineering, Faculty of Agriculture, Tarbiat Modares University, Tehran

(*-Corresponding Author Email: mirlat_m@modares.ac.ir)

3- Assistant Professor, Department of Irrigation and Drainage, Agricultural Engineering Research Institute, Karaj